

doi: 10.3969/j.issn.0490-6756.2017.04.019

高压下 XeF_2 结构稳定性及电子结构性质的理论研究

王海燕¹, 杨炳方¹, 王彪², 师瑞丽¹

(1. 河南理工大学材料科学与工程学院, 焦作 454003;

2. 上海出入境检验检疫局工业品与原材料检测技术中心, 上海 200135)

摘要: 采用平面波赝势密度泛函理论方法研究了惰性气体化合物 XeF_2 在 0~80 GPa 压力范围内的结构性质, 计算值与实验值相符合。根据我们计算得到的不同压力 XeF_2 的弹性常数, 结合力学稳定性判据, 证实 XeF_2 的 I4/mmm 结构在 80 GPa 压力范围内是稳定的。计算了不同压力下 XeF_2 的带隙, 发现带隙随着压力的增大而减小。当压力大于 10 GPa 时, XeF_2 的带隙随压力的增大近似呈线性减小趋势。表明随着压力的增大 XeF_2 晶体由绝缘体向半导体转变, 且金属性越来越强。

关键词: 结构性质; 高压; 第一性原理; 能带结构**中图分类号:** O521+.2 **文献标识码:** A **文章编号:** 0490-6756(2017)04-0781-04

Theoretical research on structural stability and electronic structure of XeF_2 under high pressure

WANG Hai-Yan¹, YANG Bing-Fang¹, WANG Biao², SHI Rui-Li¹

(1. School of Materials Science and Engineering, Henan Polytechnic University, Jiaozuo 454000, China;

2. Technical Center for Industrial Product and Raw Material Inspection and Testing of SHCIQ, Shanghai 200135, China)

Abstract: The structural properties of XeF_2 in the pressure range from 0 to 80 GPa are studied by plane-wave pseudopotential density functional theory method. The calculated values are in agreement with the experimental data. Based on the calculated elastic constants of XeF_2 under different pressures, the I4/mmm structure of XeF_2 is confirmed to be stable in the pressure range from 0 to 80 GPa. The band gaps of XeF_2 at different pressure are calculated and the band gap is found to decrease with the increase of pressure. When the pressure is greater than 10 GPa the band gap of XeF_2 increases linearly with the increase of pressure, which indicates that XeF_2 transforms from the insulator to semiconductor and has more and more strong metallic with the increase of pressure.

Keywords: Structural properties; High pressure; First principle; Band structure

1 引言

自从 1962 年巴特列第一次制得含有化学键的稀有气体化合物氟铂酸氙($\text{Xe}[\text{PtF}_6]$)后, 打破了

人为划定的不存在“稀有气体元素”化合物的禁区。至今已经合成了数以百计的稀有气体化合物, 其中以氙的化合物最多, 例如氙的氟化物有 XeF_2 、 XeF_4 、 XeF_6 等。2016 年利用卡里普索(CALYPSO)

SO)结构预测方法,在 0~200 GPa 的压力范围内对 Xe 和 F 可能形成的化合物进行搜索,发现 Xe_3F_2 和 Xe_2F 在一定的压力下也可以稳定存在^[1]. 其中有的并不需要精密的实验设备,如 Xe 和 F 的混合气体只需要放在日光下照射,即可生成 XeF_2 ,它是一种稳定的结晶化合物.

压力可以改变物质的原子和电子结构性质,高压下 XeF_2 晶体中原子之间距离变小,结构变得更加紧密,压缩产生的机械能以分子键中的化学能而存在. 因此 XeF_2 被认为是一种很好的含能材料. 早期的研究结果表明, XeF_2 在 50 GPa 的压力范围内结构稳定没有发生结构相变^[2, 3]. 利用基于密度泛函理论的第一性原理计算发现在 105 GPa 的压力范围内, XeF_2 的常压结构 I4/mmm 可以稳定存在,高于此压力, XeF_2 从 I4/mmm 结构变为 Pnma 结构^[4]. 然而,关于高压下 XeF_2 的 I4/mmm 结构性质,文献报道的较少^[5]. 因此,本文利用基于密度泛函理论的第一性原理方法研究高压下 XeF_2 的结构及电子结构性质.

2 计算方法

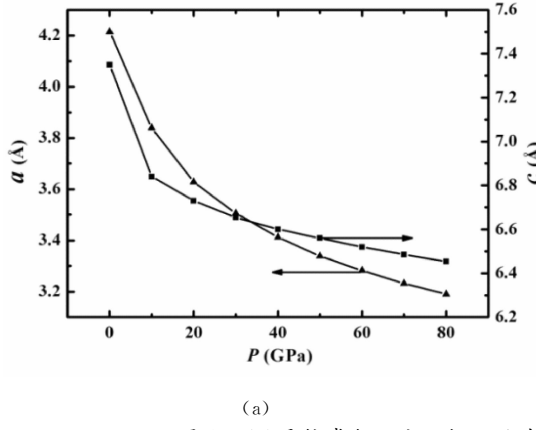
文中计算采用基于密度泛函理论的赝势平面波方法,平面波截断能为 330 eV,交换关联能采用广义梯度近似(GGA),交换关联势取 Perdew Burke Ernzerhof(PBE)^[6] 形式. 并采用超软赝

势^[7],分别把 Xe 原子的 $5s^2 5p^6$, F 原子 $2s^2 2p^5$ 作为价电子,其他轨道电子视为芯电子. 布里渊区采用 $4 \times 4 \times 2$ Monkhorst-Pack^[8] 形式的特殊 K 点,自洽计算时总能量收敛设为 1.0×10^{-6} eV/atom.

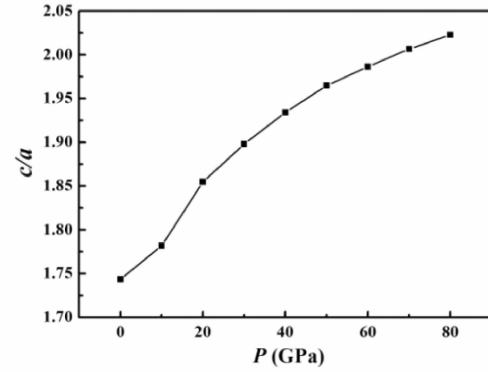
3 结果与讨论

3.1 结构性质

前人的工作^[1, 4]证实在低于 80 GPa 的压力下 XeF_2 都可以稳定存在,并具有 I4/mmm 空间群结构,因此本文主要研究了 80 GPa 压力范围内 XeF_2 的结构,弹性及电子结构性质. 计算得到的零压下晶格常数 a 和 c 分别约为 4.21 和 7.35 Å,与实验值 $a=4.33$ 和 $c=7.01$ Å^[9],以及实验值 $a=4.32$ 和 $c=6.99$ Å^[10] 比较接近. 图 1 是我们计算得到的晶格常数 a 和 c 与压强关系,以及不同压力下晶格常数比值 c/a . 随着压强的增大,晶格常数 a 和 c 减小. 压力为 80 GPa 时晶格常数 a 和 c 分别减小了约 24.2% 和 12.2%,表明晶体在压力作用下表现出一定的压缩性质,沿着不同的晶向压缩率不同. 图 1(b)是不同压力下晶格常数 c/a 的比率,从图中我们可以发现 c/a 值随着压力的增大而增大,说明随着压力的增大,晶格常数 a 减小的幅度要大于 c . 并且当压力大于 30 GPa 左右时,晶格常数 c/a 的比率随着压力的增大呈线性增大趋势.



(a)



(b)

图 1 (a)晶格常数 a 和 c 与压强关系;(b)晶格常数 c/a 比值-压强关系Fig. 1 The calculated relations (a) between lattice parameters a , c and pressure and (b) between the ratio of c/a and pressure

3.2 结构稳定性

材料的弹性性质反映材料的刚度和结构的力学稳定性,描述了晶体对外加应变的响应,在应变很小的情况下,体系的内能与应变的大小存在二次线性关系,弹性常数就是描述这种二次线性关系,即二次线性项的系数. I4/mmm 结构的 XeF_2 属于

四方晶系,晶体的弹性常数有六个独立变量. 表 1 是我们计算得到的不同压力下 XeF_2 的弹性常数,从表中可以发现弹性常数随着压力的增大而近似呈线性增大,其中 C_{33} 和 C_{11} 增大较快; C_{44} , C_{66} , C_{12} 和 C_{13} 的变化幅度相对小一些.

四方晶系的力学稳定性判据条件如下^[11]:

$$C_{11} > 0, C_{33} > 0, C_{44} > 0, C_{66} > 0, (C_{11} - C_{12}) > 0,$$

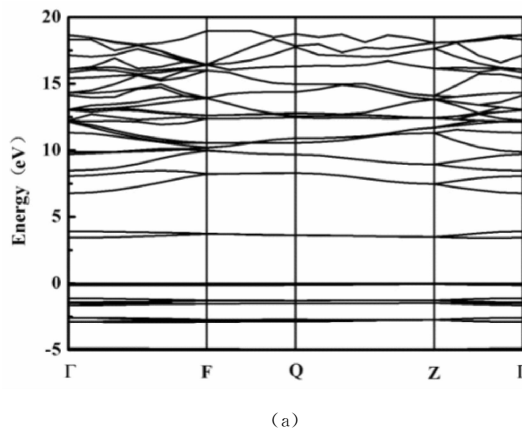
$$(C_{11} + C_{33} - 2C_{13}) > 0, [2(C_{11} + C_{12}) + C_{33} + 4C_{13}] > 0.$$

结果表明, 压力在 0~80 GPa 范围内, 弹性常数均满足力学稳定性判据, 也就是说 XeF_2 的 I4/mmm 结构是稳定的。

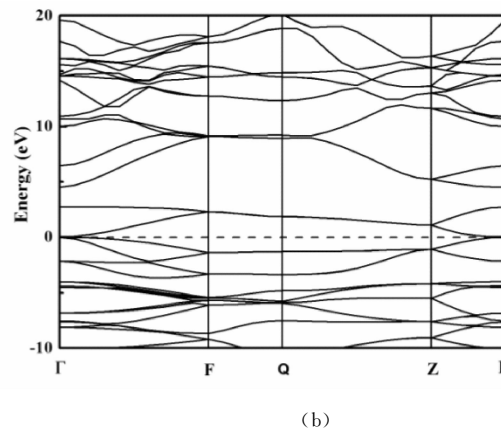
表 1 不同压力下 XeF_2 的弹性常数(单位: GPa)

Tab. 1 The elastic constants of XeF_2 under different pressures (Unit: GPa)

P	C_{11}	C_{33}	C_{44}	C_{66}	C_{12}	C_{13}
0	23.6	26.3	5.6	10	13.4	2.7
10	62.1	128.6	24	29.6	45.5	37.7
20	102.6	211.5	36.8	51.1	82.4	79.3
30	148.2	290.4	51.9	69.8	112.9	121.3
40	208.6	369.3	64.7	93.4	150.1	158.9
50	247.6	439.8	77.9	111.7	180.2	192.8
60	284	511.4	87.7	124.7	205.3	219
70	333.3	577	102.3	146.4	238.7	256.1
80	402.8	642.8	110.2	161.3	271.4	286.9



(a)



(b)

图 2 不同压力下 XeF_2 的能带结构图 (a) 0 GPa; (b) 80 GPa

Fig. 2 Calculated electronic band structures of XeF_2 under different pressures (a) 0 GPa; (b) 80 GPa

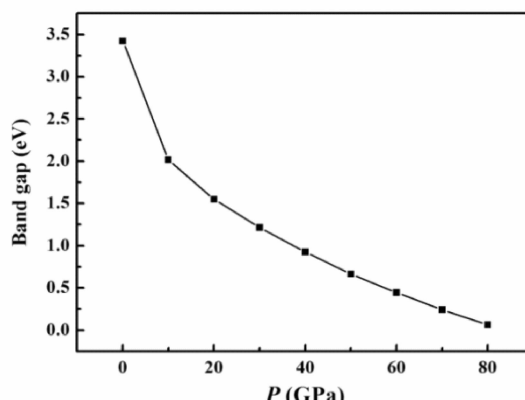


图 3 XeF_2 的带隙随压力的变化关系

Fig. 3 The relation between the band gaps of XeF_2 and pressure

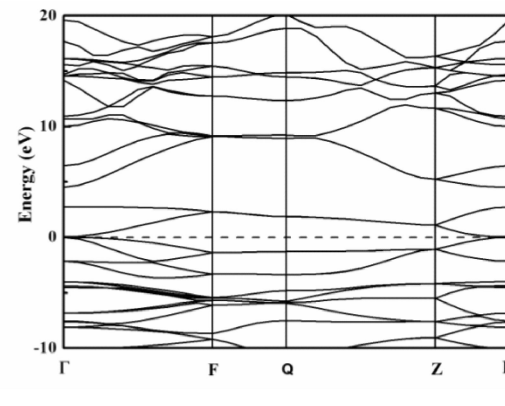
4 结 论

采用平面波赝势密度泛函理论研究了惰性气

3.3 电子结构性质

图 2 是 XeF_2 不同压力下的能带结构图。价带的最高点和导带的最低点均在 Γ 点, 表明了 I4/mmm 结构的 XeF_2 具有直接带隙。零压下 XeF_2 的带隙值约为 3.42 eV, 如图 2(a) 所示, 表明其为半导体。为了研究能带结构在高压下的变化, 我们分别计算了不同压力下 XeF_2 的能带结构, 图 2(b) 是压力为 80 GPa 时 XeF_2 的能带结构, 带隙值约为 0.065 eV。

XeF_2 的带隙随压力的变化关系如图 3 所示, 带隙随着压力的增大而减小。当压力大于 10 GPa 时, XeF_2 的带隙随压力的增大近似呈线性减小趋势。表明随着压力的增大 XeF_2 晶体由绝缘体向半导体转变, 且金属性越来越强。



体化合物 XeF_2 在 0~80 GPa 压力范围内的结构性质, 计算值与实验值相符合。晶格常数 a 和 c 随着压力的增大而减小, c/a 值随着压力的增大而增大, 说明随着压力的增大, 晶格常数 a 减小的幅度要大于 c 。并且当压力大于 30 GPa 左右时, 晶格常数 c/a 的比率随着压力的增大呈线性增大趋势。根据我们计算得到的不同压力 XeF_2 的弹性常数, 结合力学稳定性判据, 证实 XeF_2 的 I4/mmm 结构在 0~80 GPa 压力范围内是稳定的。

XeF_2 零压下的带隙值约为 3.42 eV, 表明其为半导体; 压力为 80 GPa 时带隙值约为 0.065 eV, 表现出金属性。并且发现带隙随着压力的增大而减小, 当压力大于 10 GPa 时, XeF_2 的带隙随压力的增大近似呈线性减小趋势。表明随着压力的增大 XeF_2 晶体由绝缘体向半导体转变, 且金属性越来越强。

参考文献:

- [1] Peng F, Botana J, Wang Y C, *et al.* Unexpected trend in stability of Xe-F compounds under pressure driven by Xe-Xe covalent bonds [J]. *J Phys Chem Lett*, 2016, 7: 4562.
- [2] Räsänen M. Argon out of thin air [J]. *Nat Chem*, 2013, 6: 82.
- [3] Schwarz U, Syassen K. The behaviour of solid XeF_2 under pressure [J]. *High Pressure Res*, 1992, 9: 47.
- [4] Kurzydlowski D, Zaleski-Ejgierd P, Grochala W, *et al.* Freezing in resonance structures for better packing: XeF_2 becomes $(\text{XeF}^+)(\text{F}^-)$ at large compression [J]. *Inorg Chem*, 2011, 50: 3832.
- [5] 廖大麟, 李佐, 王朴, 程新路. 高压下 XeF_2 结构和电子结构性质的第一性原理研究 [J]. 四川师范大学学报: 自然科学版, 2013, 36: 907.
- [6] Perdew J P, Burke K, Ernzerhof M. Generalized gradient approximation made simple [J]. *Phys Rev Lett*, 1996, 77: 3865.
- [7] Vanderbilt D. Soft self-consistent pseudopotentials in a generalized eigenvalue formalism [J]. *Phys Rev B*, 1990, 41: 7892.
- [8] Monkhorst H J, Pack J D. Special points for Brillouin-zone integrations [J]. *Phys Rev B*, 1976, 13: 5188.
- [9] Kim M S, Debessai M, Yoo C S. Two-and three-dimensional extended solids and metallization of compressed XeF_2 [J]. *Nature Chem*, 2010, 2: 784.
- [10] Levy H S, Agron P A. The crystal and molecular structure of Xenon Difluoride by neutron diffraction [J]. *J Am Chem Soc*, 1963, 85: 241.
- [11] Wu Z J, Zhao E J, Xiang H P, *et al.* Crystal structures and elastic properties of superhard IrN_2 and IrN_3 from first principles [J]. *Phys Rev B*, 2007, 76: 054115.